

A man in blue scrubs is walking from left to right across a blue surface. To his left is a white office chair with a cactus-shaped backrest. The background is a vast, cracked, dry landscape under a warm, orange sky. The right side of the image is a solid blue background with a white hexagonal frame containing text.

# VIVINEX IMPRESS™ BE IMPRESSED

Establezca un nuevo punto de  
referencia para los resultados visuales  
conseguidos por sus pacientes  
monofocales

Vivinex Impress™ mejora la visión intermedia de los pacientes monofocales

**LIO Vivinex Impress™**



CAMPO VISUAL

CERCA



INTERMEDIA



LEJOS



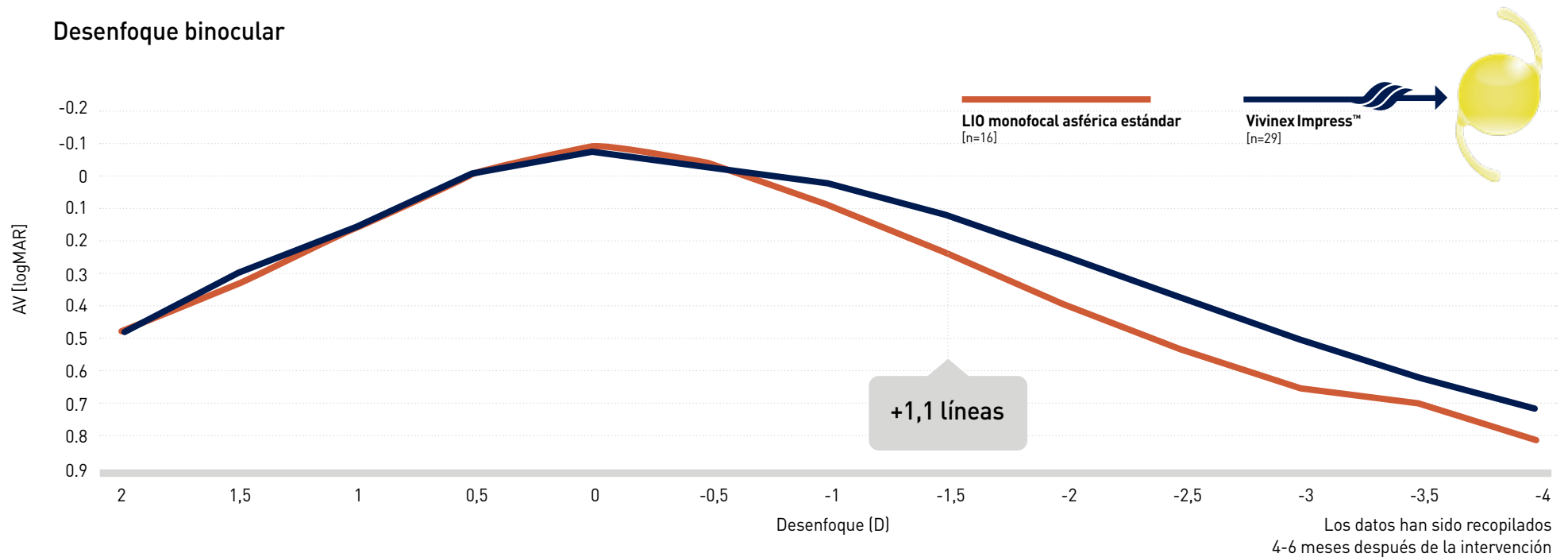
**LIO monofocal esférica estándar**



# Vivinex Impress™ ofrece una mejora en la agudeza visual binocular a 66 cm superior a 1 línea

Resultados provisionales de un estudio multicéntrico en curso<sup>1</sup>

## Desenfoque binocular

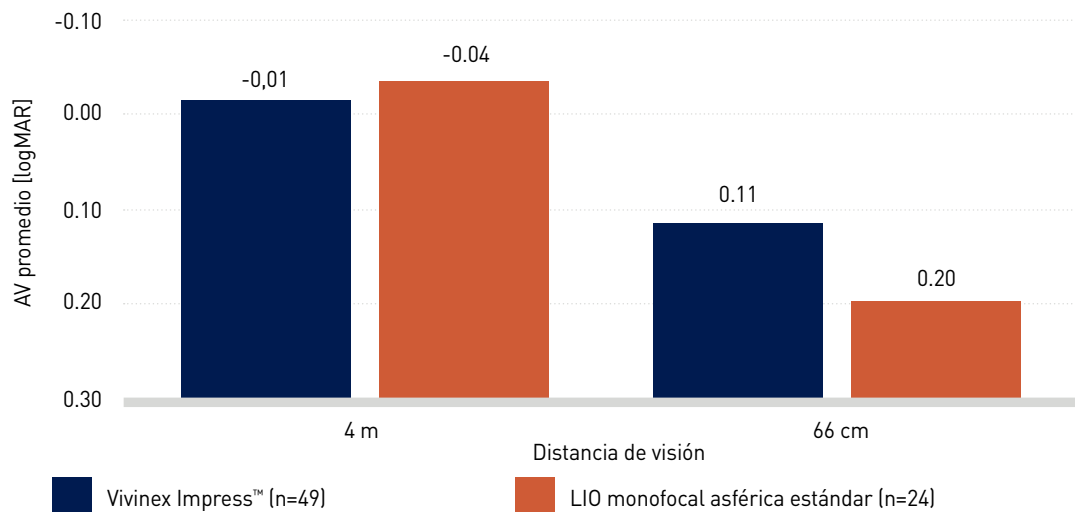


Vivinex Impress™ está diseñada para ofrecer la máxima profundidad focal sin comprometer de manera significativa la visión lejana, comparada con una LIO monofocal asférica standard<sup>1</sup>

Vivinex Impress™ mejora la agudeza visual intermedia a 66 cm (desenfoque -1.5 D) en más de 1 línea<sup>1</sup>

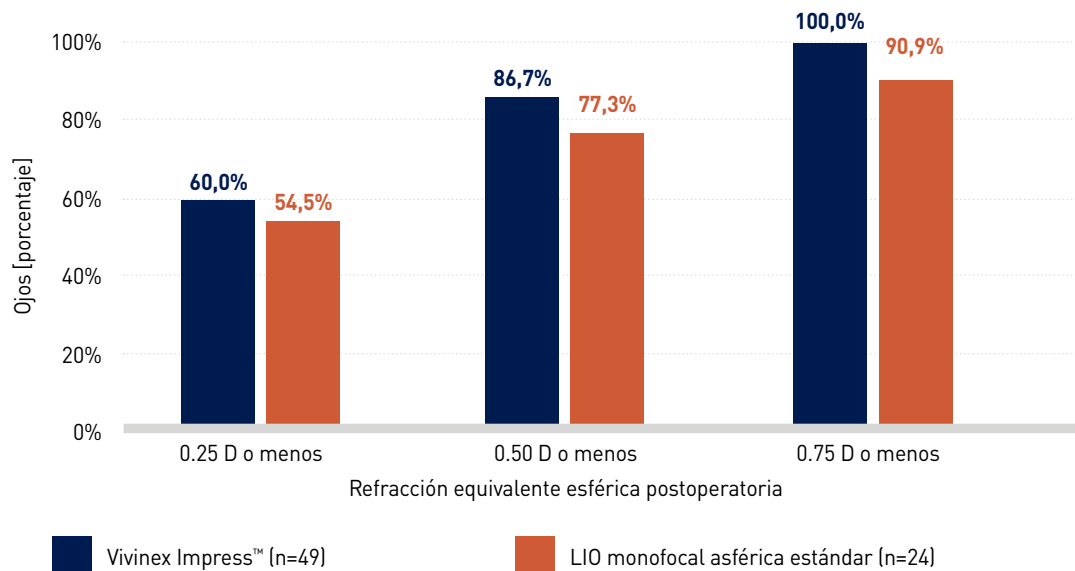
# Vivinex Impress™ mejora la visión intermedia y ofrece una previsibilidad refractiva consistente

## Agudeza visual monocular corregida de lejos después de 1 mes<sup>1</sup>



- No se aprecian diferencias en la agudeza visual mejor corregida de lejos a 4 m, promedio, entre la Vivinex Impress™ y una LIO monofocal asférica estándar<sup>1</sup>
- Aproximadamente 1 línea de aumento de la agudeza visual corregida de lejos a 66 cm en el grupo de Vivinex Impress™<sup>1</sup>

## Desviación del valor absoluto del equivalente esférico postoperatorio objetivo después de 1 mes<sup>1</sup>



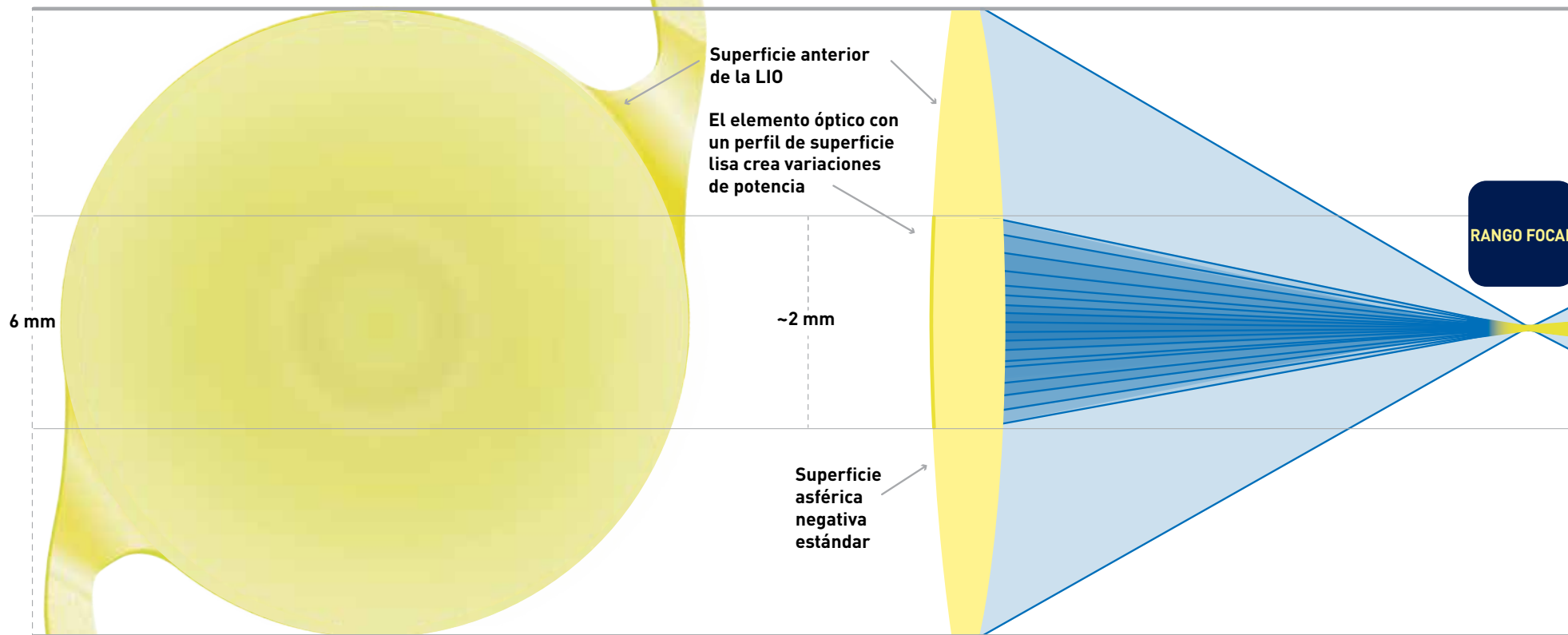
- La previsibilidad refractiva fue excelente en ambos grupos, en el de Vivinex Impress™ y en el de monofocales asféricas estándar<sup>1</sup>
  - dentro de 0.25 D del objetivo: 60% vs 55%
  - dentro de 0.50 D del objetivo: 87% vs 77%
  - dentro de 0.75 D del objetivo: 100% vs 91%

# ¿Cómo funciona Vivinex Impress™?

La representación topográfica de la superficie anterior de la Vivinex Impress™ presenta variaciones de potencia

Representación de la vista lateral de la Vivinex Impress™

Representación de la luz refractada por la óptica de la Vivinex Impress™ para crear un rango focal ampliado



Esta imagen tiene fines meramente ilustrativos y no es una representación exacta del producto.


El elemento óptico central genera variaciones en la potencia que proporciona un rango focal ampliado y una visión intermedia mejorada. La Vivinex Impress™ tiene el mismo aspecto que una LIO monofocal estándar.<sup>2</sup>

## Beneficios de la plataforma Vivinex™

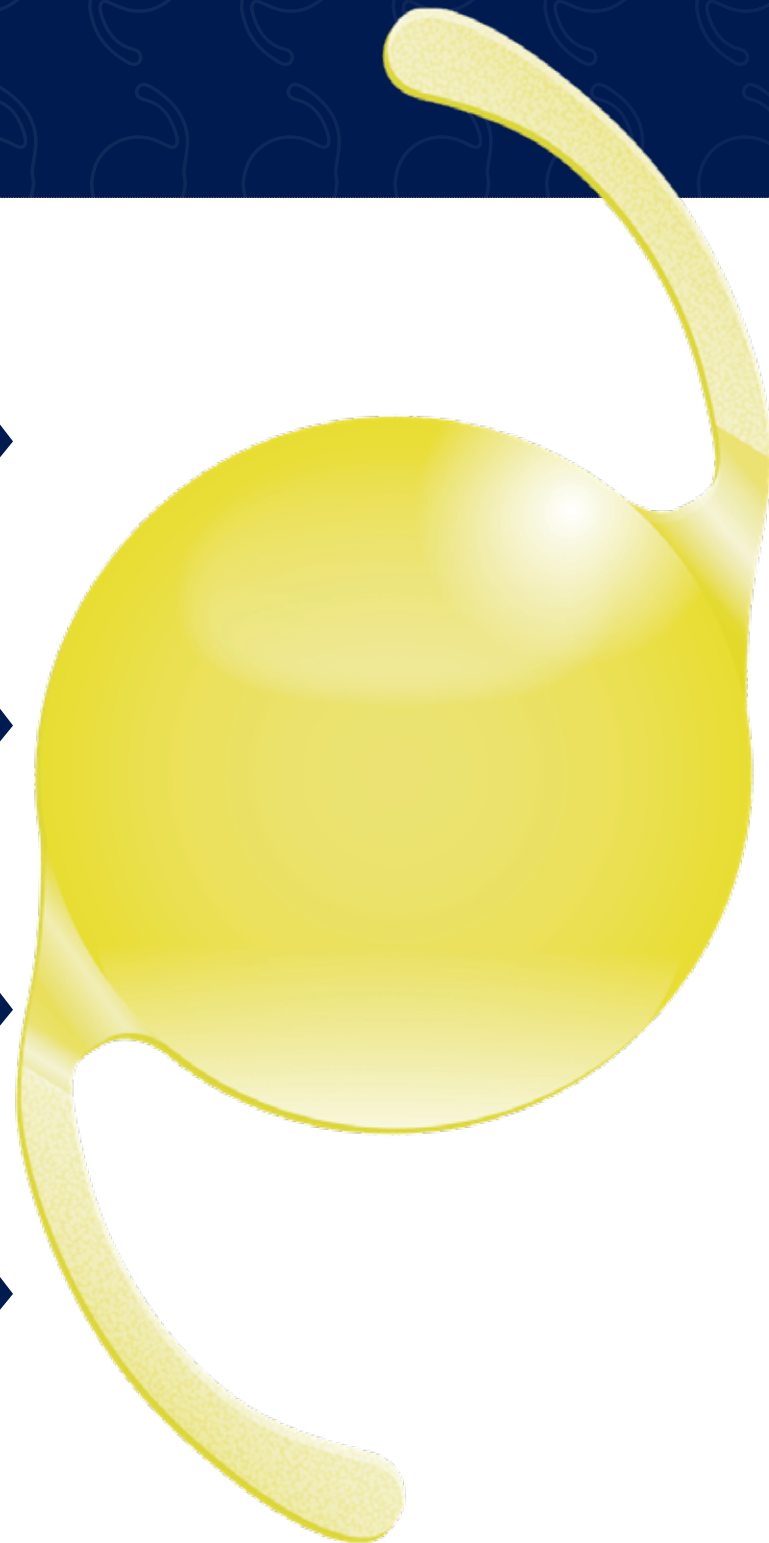
- 

**Sin brillos** Un material de la LIO acrílico hidrofóbico sin brillo<sup>3,4</sup>
- 

**Calidad de la imagen mejorada** Incorpora el diseño óptico asférico único de Vivinex™ que compensa parcialmente la aberración esférica corneal y tolera mejor las fuentes de coma que otros diseños asféricos estándar<sup>5</sup>
- 

**Reducción de la OCP** Un tratamiento de oxigenación activa, una superficie lisa y un borde óptico cuadrado para reducir la OCP<sup>3,6,7,8,9,10,11,12</sup>
- 

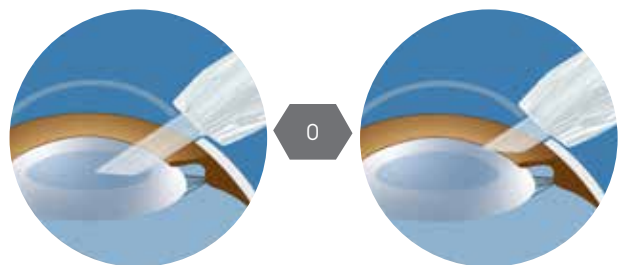
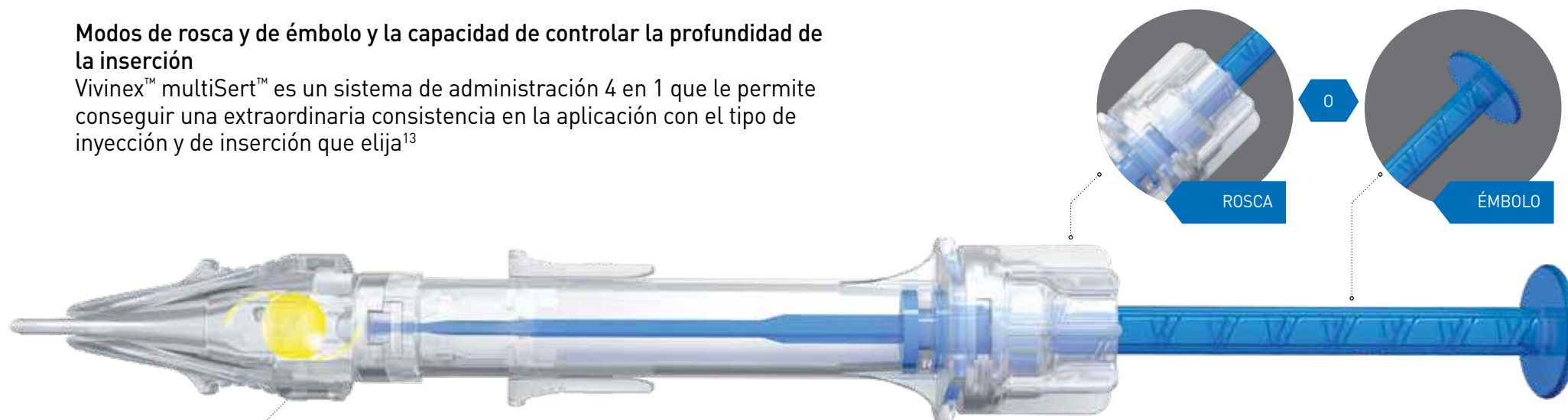
**Despliegue suave de la LIO y estabilidad del saco capsular** Una superficie del háptico con textura rugosa diseñada para reducir la posibilidad de adhesión a la superficie óptica durante la implantación y un mejor agarre dentro del saco capsular



## Suministrada en un inyector multiSert™ precargado

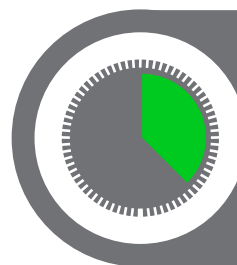
### Modos de rosca y de émbolo y la capacidad de controlar la profundidad de la inserción

Vivinex™ multiSert™ es un sistema de administración 4 en 1 que le permite conseguir una extraordinaria consistencia en la aplicación con el tipo de inyección y de inserción que elija<sup>13</sup>



**Administración dentro del saco capsular**  
*protector de inserción:*  
posición por defecto

**Administración a través de la incisión**  
*protector de inserción:*  
posición adelantada



### Los inyectores precargados son:

#### Más fáciles de preparar lo que aumenta la seguridad:<sup>14,15,16,17,18,19</sup>

- Al reducir el riesgo de contaminación e infección
- Al reducir el riesgo de daño a la LIO

#### Más eficientes en quirófano:<sup>16,18</sup>

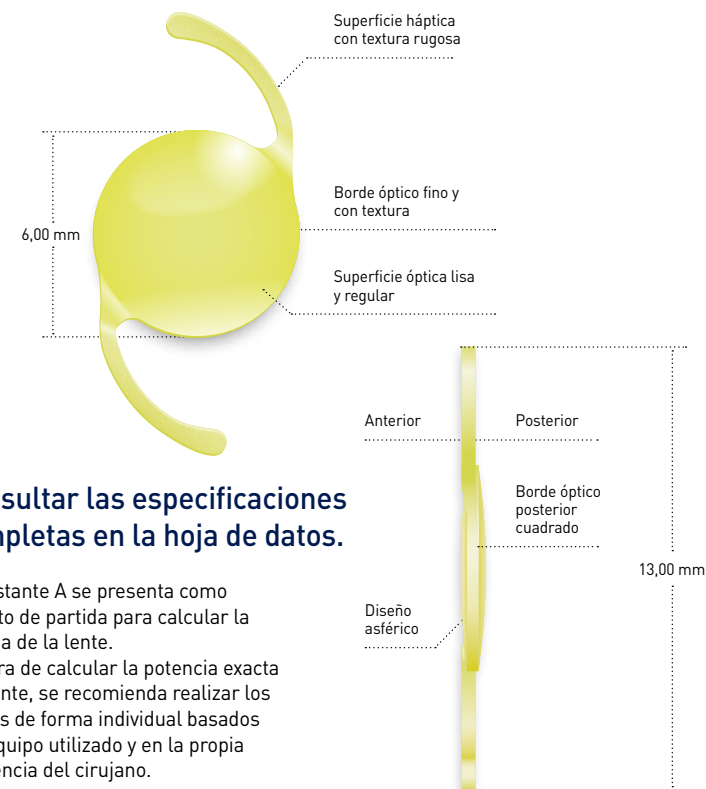
- Al minimizar el tiempo de preparación del sistema de administración de la LIO
- Al generar menos instrumentos para reprocesar

#### Más predecibles:<sup>18</sup>

- Al incrementar la previsibilidad y la consistencia de la administración de la LIO

# Especificaciones

<b>Vivinex Impress™</b>	
<b>Nombre del modelo</b>	XY1-EM
<b>Diseño de la óptica</b>	Biconvexa con borde óptico cuadrado, fino y con textura Anterior: diseño asférico
<b>Materiales ópticos y hápticos</b>	Acrílico hidrofóbico Vivinex™ con filtro de luz azul y UV
<b>Diseño háptico</b>	Superficie del háptico con textura rugosa
<b>Diámetro (óptica/LAO)</b>	6,00 mm/13,00 mm
<b>Potencia de la LIO (equivalente esférico)</b>	Entre +6.00 D y +30.00 D en aumentos de 0.50 D
<b>Constante A nominal*</b>	118,8
<b>Inyector</b>	multiSert™ precargado
<b>Diámetro exterior de la punta del inyector frontal</b>	1,70 mm
<b>Tamaño de incisión recomendado</b>	2,20 mm



> Consultar las especificaciones completas en la hoja de datos.

\*La constante A se presenta como un punto de partida para calcular la potencia de la lente. A la hora de calcular la potencia exacta de la lente, se recomienda realizar los cálculos de forma individual basados en el equipo utilizado y en la propia experiencia del cirujano.

Suministrada en un inyector **multiSert™** precargado



**HOYA**  
SURGICAL OPTICS

CE 0123 2023-08-15\_HS0E\_XY1-EM\_BR\_ES

**Referencias:** 1. Datos del archivo HOYA. CTM-23-P0105, HOYA Medical Singapore, Pte. Ltd, 2023 2. HOYA data on file RnD-20-367, HOYA Medical Singapore, Pte. Ltd, 2023 3. Tandogan, T. et al. [2021]: In-vitro glistening formation in six different foldable hydrophobic intraocular lenses. In BMC Ophthalmol 21, 126. 4. Auffarth et al. [2023] Randomized multicenter trial to assess posterior capsule opacification and glistenings in two hydrophobic acrylic intraocular lenses. Sci Rep 13, 2822. 5. Pérez-Merino, P., Marcos, S. [2018]: Effect of intraocular lens decentration on image quality tested in a custom model eye. In: Journal of cataract and refractive surgery 44 [7], p. 889-896. 6. Leydolt, C. et al. [2020]: Posterior capsule opacification with two hydrophobic acrylic intraocular lenses: 3-year results of a randomized trial. In: American journal of ophthalmology 217 [9], p. 224-231. 7. Giacinto, C. et al. [2019]: Surface properties of commercially available hydrophobic acrylic intraocular lenses: Comparative study. In: Journal of cataract and refractive surgery 45 [9], p. 1330-1334. 8. Werner, L. et al. [2019]: Evaluation of clarity characteristics in a new hydrophobic acrylic IOL in comparison to commercially available IOLs. In: Journal of cataract and refractive surgery 45 [10], p. 1490-1497. 9. Matsushima, H. et al. [2006]: Active oxygen processing for acrylic intraocular lenses to prevent posterior capsule opacification. In: Journal of cataract and refractive surgery 32 [6], p. 1035-1040. 10. Farukhi, A. et al. [2015]: Evaluation of uveal and capsule biocompatibility of a single-piece hydrophobic acrylic intraocular lens with ultraviolet-ozone treatment on the posterior surface. In: Journal of cataract and refractive surgery 41 [5], p. 1081-1087. 11. Eldred, J. et al. [2019]: An In Vitro Human Lens Capsular Bag Model Adopting a Graded Culture Regime to Assess Putative Impact of IOLs on PCO Formation. In: Investigative ophthalmology & visual science 60 [1], p. 113-122. 12. Nanavaty, M. et al. [2019]: Edge profile of commercially available square-edged intraocular lenses: Part 2. In: Journal of cataract and refractive surgery 45 [6], p. 847-853. 13. HOYA data on file. DoF-SERT-102-MULT-03052018, HOYA Medical Singapore Pte. Ltd, 2018 14. Galor, A. et al. [2013]. Management strategies to reduce risk of postoperative infections. In Current ophthalmology reports, 1[4], 10.1007/s40135-013-0021-5. 15. Bodnar, Z. et al. [2012]. Toxic anterior segment syndrome: Update on the most common causes. In: Journal of cataract and refractive surgery, 38[11], 1902-1910. 16. Jones, J. et al. [2016]. The impact of a preloaded intraocular lens delivery system on operating room efficiency in routine cataract surgery. In: Clinical ophthalmology [Auckland, N.Z.], 10, 1123-1129. 17. Park, C. et al. [2018]. Toxic anterior segment syndrome-an updated review. In: BMC ophthalmology, 18[1], 276. 18. Chung, B. et al. [2018]. Preloaded and non-preloaded intraocular lens delivery system and characteristics: human and porcine eyes trial. In: International journal of ophthalmology, 11[1], 6-11. 19. Schmidbauer, J. et al. Rates and causes of intraoperative removal of foldable and rigid intraocular lenses: clinicopathological analysis of 100 cases. In: Journal of cataract and refractive surgery, 28[7], 1223-1228.

La información contenida está destinada a profesionales sanitarios. Para obtener una lista completa de indicaciones y contraindicaciones, consulte las instrucciones de uso. Algunos de los productos o características específicas y los procedimientos que se especifican en este documento podrían no estar aprobados en su país y, por lo tanto, no estar disponibles. El diseño y las especificaciones están sujetos a cambios sin previo aviso como resultado del desarrollo técnico continuo. Póngase en contacto con su distribuidor regional para consultar la disponibilidad en su país. HOYA, Vivinex Impress, Vivinex y multiSert son marcas registradas de HOYA Corporation o sus afiliados. ©2023 HOYA Medical Singapore Pte. Ltd. Todos los derechos reservados. HOYA Medical Singapore Pte. Ltd. | 455A Jalan Ahmad Ibrahim | Singapore 639939.

HOYA Surgical Optics GmbH | De-Saint-Exupery-Str. 10 | 60549 Frankfurt am Main | Germany | Línea directa DE: Tel. +49 (0)800 664 2 664 | Fax +49 (0)800 774 2 774 hoyasurgicaloptics.com